

# Appunti di Elaborazione dei Segnali

By *@Thisisfava*

2024/2025

## Contents

# 1 Numeri Complessi

**Definizione.** Il campo complesso  $\mathbb{C}$  è la chiusura algebrica di un polinomio di grado  $n$  a coefficienti reali.

Un numero  $z \in \mathbb{C}$  è definito dall'*unità immaginaria*:

$$i = j = \sqrt{-1} \quad (1)$$

## 1.1 Rappresentazioni

Un complesso  $z$ , che può essere scritto in diverse forme, viene rappresentato sul *Piano di Gauss*, un piano definito dall'asse orizzontale  $\mathbb{R}e$  e dall'asse verticale  $\mathbb{I}m$

### 1.1.1 Coordinate Rettangolari

Un complesso può essere rappresentato come un punto  $(x, y)$  sul piano di Gauss, con  $x$  e  $y \in \mathbb{R}$ . La forma che lo rappresenta è la forma *algebrica*:

$$z = x + jy \quad (2)$$

Con  $x$  la parte reale (ossia  $\mathbb{R}e(z) = x$ ) e  $y$  la parte immaginaria (ossia  $\mathbb{I}m(z) = y$ )

### 1.1.2 Coordinate Polari

Un complesso  $z$  può essere anche rappresentato in *forma polare* sul piano in funzione della lunghezza  $\rho$  del vettore che parte dall'origine (ossia il *modulo*) e dell'angolo spazzato  $\theta$  (ossia la *fase*).

$$z = \langle \rho, \theta \rangle = \rho (\cos(\theta) + j \sin(\theta)) \quad (3)$$

In realtà, un'altra forma che permette di esprimere un complesso in coordinate polari è la forma *esponenziale*

$$z = \rho e^{j\theta} = \rho (\cos(\theta) + j \sin(\theta)) \quad (4)$$

## 1.2 Conversioni

### 1.2.1 Polare a Rettangolare

Dato  $z = \langle \rho, \theta \rangle$

$$\begin{cases} x = \rho \cos(\theta) \\ y = \rho \sin(\theta) \end{cases} \quad (5)$$

### 1.2.2 Rettangolare a Polare

Dato  $z = x + jy$

$$\begin{cases} \rho = \sqrt{x^2 + y^2} \\ \theta = \text{atan2}\left(\frac{y}{x}\right) \end{cases} \quad (6)$$

Dove

$$\text{atan2}\left(\frac{y}{x}\right) = \begin{cases} \arctan\left(\frac{y}{x}\right) & \text{se } x > 0 \\ \arctan\left(\frac{y}{x}\right) + \pi & \text{se } x < 0 \end{cases} \quad (7)$$

## 1.3 Complesso Coniugato

### 1.3.1 Definizione

Dato un  $z \in \mathbb{C}$  t.c  $z = x + jy = \rho e^{j\theta}$  allora il suo coniugato sarà

$$\bar{z} = x - jy \quad (8)$$

$$\bar{z} = \rho e^{-j\theta} \quad (9)$$

In parole povere, il coniugato di un complesso è il complesso che ha stessa parte reale ma opposta parte immaginaria

### 1.3.2 Proprietà

- $z + \bar{z} = 2\text{Re}(z)$
- $z \cdot \bar{z} = x^2 + y^2 = \rho^2$

## 1.4 Operazioni nel campo dei complessi

### 1.4.1 Somme tra numeri complessi

**Forma algebrica.** Dati  $z_1 = x_1 + jy_1$  e  $z_2 = x_2 + jy_2$  la somma sarà:

$$z_1 + z_2 = (x_1 + x_2) + j(y_1 + y_2) \quad (10)$$

**Forma Esponenziale.** La somma è banale

### 1.4.2 Scalatura

**Forma algebrica.** Dati  $z = x + jy$  e  $a \in \mathbb{R}$  la scalatura sarà:

$$az = ax + jay \quad (11)$$

**Forma Esponenziale.** Dati  $z = \rho e^{j\theta}$  e  $a \in \mathbb{R}$  la scalatura sarà:

$$az = a\rho e^{j\theta} \quad (12)$$

### 1.4.3 Prodotto tra complessi

**Forma algebrica.** Dati  $z_1 = x_1 + jy_1$  e  $z_2 = x_2 + jy_2$  il prodotto sarà:

$$z_1 \cdot z_2 = (x_1x_2 - y_1y_2) + j(x_1y_2 + x_2y_1) \quad (13)$$

**Forma Esponenziale.** Dati  $z_1 = \rho_1 e^{j\theta_1}$  e  $z_2 = \rho_2 e^{j\theta_2}$  il prodotto sarà:

$$z_1 \cdot z_2 = \rho_1 \rho_2 e^{j(\theta_1 + \theta_2)} \quad (14)$$

### 1.4.4 Inverso di un complesso

**Forma algebrica.** Dato  $z = x + jy$  l'inverso sarà:

$$\frac{1}{z} = \frac{\bar{z}}{\rho^2} = \frac{x - jy}{x^2 + y^2} \quad (15)$$

Spiegazione della formula: un certo  $w = z^{-1}$  con  $z \in \mathbb{C}$  se il loro prodotto genera un numero con parte reale unitaria e parte immaginaria nulla. Sappiamo che  $z \cdot \bar{z} = x^2 + y^2 = |z|^2 = \rho^2$ . Quindi basta dividere il coniugato di  $z$  con il modulo quadro( $\rho^2$ ) e si ha l'inverso.

**Forma Esponenziale.** Dati  $z = \rho e^{j\theta}$  il prodotto sarà:

$$\frac{1}{z} = \frac{1}{\rho} e^{-j\theta} \quad (16)$$

#### 1.4.5 Divisione tra numeri complessi

Dati  $z_1 \in \mathbb{C}$  e  $z_2 \in \mathbb{C}$  possiamo riscrivere la divisione tra i 2 numeri come prodotto tra il primo e l'inverso del secondo, e ciò vale per entrambe le forme:

$$\frac{z_1}{z_2} = z_1 \cdot \frac{1}{z_2} \quad (17)$$

#### 1.4.6 Elevamento a potenza

**Forma algebrica.** L'elevamento a potenza della forma algebrica non è particolarmente interessante.

**Forma Esponenziale.** Dati  $z = \rho e^{j\theta}$  e  $n \in \mathbb{Z}$  l'elevamento a potenza sarà  $z^n = \underbrace{z \cdot z \cdot \dots \cdot z}_{n \text{ volte}}$  ossia:

$$z^n = \rho^n e^{jn\theta} \quad (18)$$

#### 1.4.7 Estrazione di una radice n-esima

Dato un  $z \in \mathbb{C}$  e  $y \in \mathbb{C}$ ,  $y$  è radice n-esima di  $z$  se e solo se  $y^n = z$ . La grande differenza con i numeri reali è che, nel campo complesso, esistono esattamente  $n$  y distinte di radici che soddisfano l'equazione  $y^n - z = 0$  per il teorema fondamentale dell'algebra.

**Forma algebrica.** La radice n-esima della forma algebrica non è particolarmente interessante.

**Forma Esponenziale.** Dati  $z = \rho e^{j\theta}$  e  $n \in \mathbb{N}$  la radice n-esima sarà:

$$\sqrt[n]{z} = \sqrt[n]{\rho} e^{j\left(\frac{\theta+2\pi i}{n}\right)} \quad \text{Con } i = 0, 1, \dots, n-1$$

#### 1.4.8 Funzione complessa di variabile reale

Definita come

$$f : \mathbb{R} \longrightarrow \mathbb{C}$$

Oppure come  $z = f(x)$  con  $z \in \mathbb{C}$  e  $x \in \mathbb{R}$ , è una funzione che mappa ad ogni reale un immaginario.

**Rappresentazione.** Graficamente una funzione complessa di variabile reale può essere rappresentata in un grafico a 3 dimensioni con un asse per la  $x$  (variabile indipendente) e gli altri 2 assi sono  $\text{Im}[z]$  e  $\text{Re}[z]$ . Dal momento che sono difficili da rappresentare, si ricorre ad una semplificazione: il grafico tridimensionale si sdoppia in un grafico che mappa ad ogni  $x$  la parte Reale di  $z$  ed un altro grafico che mappa ad ogni  $x$  la parte Immaginaria di  $z$ . Se si lavora in coordinate polari, è possibile invece rappresentare il grafico che mappa ad

ogni  $x$  il modulo del complesso corrispondente e un altro grafico che mappa ad ogni  $x$  la fase del complesso corrispondente. La particolarità di questi ultimi 2 grafici è che il primo grafico è sempre rappresentato sopra l'asse  $x$  (il modulo non può mai essere negativo) e il secondo grafico è sempre rappresentato tra  $-\pi$  e  $\pi$  dal momento che poi la fase si ripete.

## 2 Segnali

In termini totalmente astratti, un segnale è un veicolo di informazione. L'informazione, a sua volta, possiamo definirla come tutto ciò che aggiunge conoscenza. Calato nel contesto del corso, un segnale può essere visto come una funzione

$$\begin{cases} y = f(x) \\ f : A \longrightarrow B \end{cases}$$

Dove  $x \in A$  è la variabile indipendente,  $y \in B$  la variabile dipendente con  $A$  e  $B$  insiemi qualsiasi.

### 2.1 Classificazione dei segnali

#### 2.1.1 Rispetto alla dimensionalità

Un segnale può essere classificato rispetto alla dimensionalità del dominio o del codominio.

**Dominio.** Un segnale rispetto alla dimensionalità del dominio può essere:

- **Monodimensionale** se  $A \subseteq \mathbb{R}$
- **n-Dimensionale** se  $A \subseteq \mathbb{R}^n$  con  $n > 1$

**Codominio.** Un segnale rispetto alla dimensionalità del codominio può essere:

- **Scalare** se  $B \subseteq \mathbb{R}$
- **Vettoriale** se  $B \subseteq \mathbb{R}^n$  con  $n > 1$

#### 2.1.2 Rispetto alla Continuità

Un segnale può essere classificato rispetto alla continuità di dominio o codominio.

**Dominio.** Un segnale rispetto alla continuità del dominio può essere:

- **Continuo** se  $A \subseteq \mathbb{R}^n$ , cioè se  $A$  coincide o è sottoinsieme di un insieme denso, continuo.
- **Discreto** se  $A$  coincide o è sottoinsieme di un insieme discreto (come  $\mathbb{Z}$  o  $\mathbb{N}$ )



**Codominio.** Un segnale rispetto alla continuità del codominio può essere:

- **Ad Ampiezze Continue** se  $B \subseteq \mathbb{R}^n$ , cioè se  $B$  coincide o è sottoinsieme di un insieme denso, continuo.
- **Ad Ampiezze Discrete** se  $B$  coincide o è sottoinsieme di un insieme discreto (come  $\mathbb{Z}$  o  $\mathbb{N}$ )

Nel caso in cui la variabile dipendente sia il tempo, i segnali vengono detti **tempo-continuui** o **tempo-discreti**.

**Esempi.** Il *suono* può essere visto come la pressione dell'aria in funzione del tempo, ossia come:

$$p = f(t)$$

Dove  $p \in \mathbb{R}$ ,  $t \in \mathbb{R}$ . Dunque il suono è un segnale **monodimensionale e scalare, continuo e ad ampiezze continue**

Un'*immagine in bianco e nero* può essere vista come una funzione che associa ad ogni punto del piano la *Luminanza*:

$$L = f(x, y)$$

Dove  $L \in \mathbb{R}$  e  $\langle x, y \rangle \in \mathbb{R}^2$ . Dunque un'immagine a scala di grigi è un segnale **bidimensionale e scalare, continuo e ad ampiezze continue**

Un'*immagine a colori* può essere vista come una funzione che associa ad ogni punto del piano una tripletta di valori (interpretabili in base allo spazio colore scelto). Consideriamo lo spazio RGB:

$$\langle R, G, B \rangle = f(x, y)$$

Dove  $\langle R, G, B \rangle \in \mathbb{R}^3$  e  $\langle x, y \rangle \in \mathbb{R}^2$ . Dunque un'immagine a colori è un segnale **bidimensionale e vettoriale, continuo e ad ampiezze continue**

## 2.2 Tipi di segnali

In base alle caratteristiche di un segnale, possiamo definire alcuni tipi di segnali:

Segnale	Dominio Continuo	Dominio Discreto
Codominio Continuo	Analogico	Campionato
Codominio Discreto	Quantizzato	Digitale

## 3 Segnali Continui

### 3.1 Operazioni Sui Segnali Continui

#### 3.1.1 Traslazione

Dato un segnale  $y = f(x)$  possiamo definire il segnale traslato  $y'$  come

- $y' = f(x - x_0)$  ossia una *traslazione in avanti* di  $x_0$
- $y' = f(x + x_0)$  ossia una *traslazione all'indietro* di  $x_0$

Quando la variabile indipendente  $x$  è il tempo, possiamo dire che il segnale è, rispettivamente, in *in ritardo* o *in anticipo*

#### 3.1.2 Scalatura della variabile dipendente

Dato  $y = f(x)$  e  $x \in \mathbb{R}$  allora possiamo definire  $y'$  il segnale scalato come

$$y' = f(ax)$$

Dove  $a \in \mathbb{R}$  è detto *fattore di scala*. In base ai valori assunti da  $a$ , il segnale può:

- **Espandersi** se  $|a| < 1$
- **Comprimersi** se  $|a| > 1$
- **Specchiarsi** rispetto all'asse  $y$  se  $a < 0$

## 3.2 Segnali Notevoli

Riporto di seguito alcune funzioni(segnali) che useremo spesso nel corso:

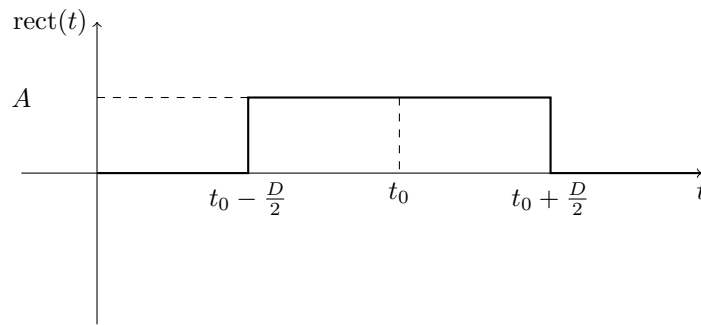
### 3.2.1 Funzione Rettangolo

Detta anche *Impulso Rettangolare*, è una funzione che ha un picco tra  $-\frac{1}{2}$  e  $\frac{1}{2}$  e poi è sempre nulla. Possiamo definirla così:

$$y = \text{rect}(t) = \begin{cases} 1 & \text{se } -\frac{1}{2} \leq t \leq \frac{1}{2} \\ 0 & \text{altrimenti} \end{cases} \quad (19)$$

**Formula Generalizzata.** Data  $A$  l'ampiezza del segnale,  $t_0$  il centro del rettangolo e  $D$  la durata dell'impulso, possiamo generalizzare la definizione precedente

$$y = A \cdot \text{rect}\left(\frac{t - t_0}{D}\right) \quad (20)$$



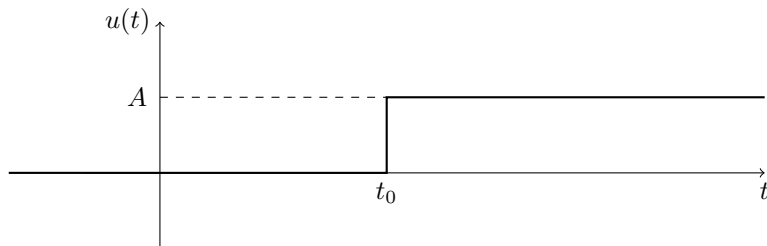
### 3.2.2 Gradino Unitario

Tale segnale è definibile come

$$u(t) = \begin{cases} 1 & \text{per } t \geq 0 \\ 0 & \text{per } t < 0 \end{cases} \quad (21)$$

**Formula Generalizzata.** Data  $A$  l'ampiezza del segnale e  $t_0$  il tempo di ritardo

$$y = A \cdot u(t - t_0) \quad (22)$$



### 3.2.3 Delta di Dirac (o Impulso Ideale)

Questo segnale si ottiene, a partire dall'impulso rettangolare, restringendo sempre di più  $T$  e aumentando sempre di più l'ampiezza di un termine  $\frac{1}{T}$  (questo per mantenere l'area sottesa, o energia, invariata). Possiamo determinare la formula analitica di questa operazione:

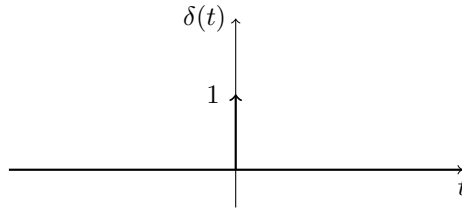
$$y(t) = \frac{1}{T} \text{rect} \left( \frac{t}{T} \right)$$

Facendo tendere a 0 il termine  $T$  si ottiene proprio la *delta di Dirac*:

$$\delta(t) = \lim_{T \rightarrow 0} \frac{1}{T} \text{rect} \left( \frac{t}{T} \right) \quad (23)$$

Per com'è definita, la delta di Dirac non è una vera e propria funzione, è una funzione speciale, una distribuzione, che vale sempre 0 tranne quando  $t = 0$ ; in quel caso la funzione va ad infinito, perchè sarebbe l'impulso (ideale) applicato in un istante infinitesimo. Dal momento che in questa funzione l'ampiezza è infinita, ha senso considerare, invece, l'area sottesa, ossia l'energia dell'impulso.

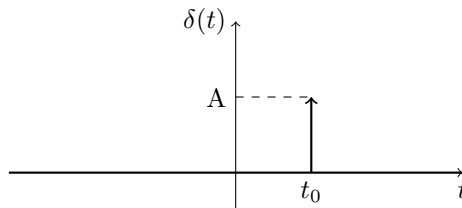
**Rappresentazione Tradizionale.** Tradizionalmente la funzione delta viene rappresentata in 0 con una freccia verso l'alto con la punta a 1. In ogni altro punto, è 0.



**Formula Generalizzata.** Data  $A$  l'area (e non l'ampiezza, che sarebbe infinita) e  $t_0$  il ritardo, la formula sarà:

$$y(t) = A \cdot \delta(t - t_0)$$

E il grafico sarà:



### 3.2.4 Proprietà della Delta

- **Area Unitaria:** l'integrale su tutto  $\mathbb{R}$  della delta è esattamente 1

$$\int_{-\infty}^{\infty} \delta(t) dt = 1 \quad (24)$$

- **Proprietà del Campionamento:** per enunciare la proprietà è necessario introdurre il concetto di *prodotto scalare tra funzioni*:

Si dice prodotto scalare tra le funzioni  $f$  e  $g$  come

$$\langle f, g \rangle = \int_{-\infty}^{\infty} f(t)g(t)dt \quad (25)$$

Detto ciò, la proprietà della campionatura afferma che, per ogni funzione  $f(t)$ :

$$\langle f(t), \delta(t) \rangle = \int_{-\infty}^{\infty} f(t)\delta(t)dt = f(0) \quad (26)$$

Da ciò possiamo capire il significato del termine "campionatura": quando noi effettuiamo il prodotto scalare con il delta, è come se scattassimo una istantanea alla funzione  $f$  in 0. Questa proprietà ci servirà per discretizzare una funzione. Possiamo dunque generalizzare questa proprietà per un qualunque istante  $t_0$ :

$$\langle f(t), \delta(t - t_0) \rangle = \int_{-\infty}^{\infty} f(t)\delta(t - t_0)dt = f(t_0) \quad (27)$$

- **Proprietà del Prodotto:** il prodotto tra una qualsiasi funzione  $f(t)$  e il delta di dirac è sempre 0 laddove  $t \neq t_0$ :

$$f(t)\delta(t - t_0) = f(t_0)\delta(t - t_0) \quad (28)$$

- **Parità:**

$$\delta(t) = \delta(-t) \quad (29)$$

- **Integrazione:** la funzione integrale della delta di dirac è in realtà il gradino unitario

$$\int_{-\infty}^t \delta(\tau) d\tau = \begin{cases} 1 & \text{per } t \geq 0 \\ 0 & \text{per } t < 0 \end{cases} = u(t) \quad (30)$$

### 3.2.5 Segnali Periodici

Un segnale  $s(t)$  si dice *periodico* se e solo se il suo valore si ripete ad ogni periodo, ossia:

$$s(t) = s(t + kT) \quad (31)$$

Dove  $k \in \mathbb{Z}$  è il numero di volte e  $T \in \mathbb{R}$  è il periodo.

Una cosa da tenere a mente è che, in segnali, solitamente, si normalizza in modo tale da mettere in evidenza direttamente nella formula la frequenza (che può essere molto utile).

Es:

$$f(t) = \cos(2\pi f_0 t)$$

Da questa formula sappiamo subito che il periodo di questo segnale è:

$$\frac{2\pi}{2\pi f_0} = \frac{1}{f_0}$$

E dunque la sua frequenza è proprio  $f_0$

### 3.2.6 Fasore

Questa funzione è una funzione complessa di variabile reale, con la seguente formula analitica:

$$s(t) = e^{j2\pi f_0 t} = \cos(2\pi f_0 t) + j \sin(2\pi f_0 t) \quad (32)$$

### 3.3 Proprietà dei Segnali

#### 3.3.1 Durata

La durata di un segnale è, considerando un segnale nel tempo, la differenza tra il primo istante in cui il segnale non è nullo e l'ultimo istante.

#### 3.3.2 Area

Si dice *Area di un Segnale*  $s(t)$  l'area sottesa dallo stesso segnale, ossia:

$$\int_{-\infty}^{+\infty} s(t)dt \quad (33)$$

#### 3.3.3 Valor Medio (o Media Temporale)

Il valor medio di un segnale  $s(t)$  non è altro che quel valore  $\bar{s}$  tale che una funzione costante  $s'(t) = \bar{s}$  ha la stessa area di  $s(t)$ , ossia:

$$\bar{s} = \lim_{T \rightarrow +\infty} \frac{1}{2T} \int_{-T}^{+T} s(t)dt \quad (34)$$

#### 3.3.4 Energia

Sebbene non stiamo parlando propriamente di lavoro e concetti fisici relativi, dobbiamo dire che un segnale è sempre associato ad una certa energia che il segnale stesso trasporta. Dunque *l'energia di un segnale* ( $s(t)$ ) è:

$$E_s = \int_{-\infty}^{+\infty} |s(t)|^2 dt \quad (35)$$

#### 3.3.5 Potenza Istantanea

Per il discorso precedente, possiamo anche definire la Potenza Istantanea di un segnale (cioè la potenza in un istante del Segnale) come

$$P[s(t)] = \begin{cases} s(t_0)\overline{s(t_0)} & \text{se } s(t_0) \in \mathbb{C} \\ s(t_0)^2 & \text{se } s(t_0) \in \mathbb{R} \end{cases} \quad (36)$$

#### 3.3.6 Potenza Media

La potenza media possiamo, invece, vederla come il valore medio dell'energia, ossia:

$$P_s = \lim_{T \rightarrow +\infty} \frac{1}{2T} \int_{-T}^{+T} |s(t)|^2 dt \quad (37)$$

### 3.3.7 Segnale Energia e Potenza

Innanzitutto possiamo notare come sia Potenza Media che Energia siano non negativi per costruzione; inoltre tra Potenza Media e Energia di un segnale è possibile vedere una correlazione: laddove l'energia del segnale è finita, allora la potenza è necessariamente nulla; laddove invece la potenza media è maggiore di 0, l'energia è infinita.

In base a questo concetto è possibile definire:

- **Segnale Energia** un segnale  $s(t)$  se e solo se  $0 < E_s < \infty$  e allora  $P_s = 0$
- **Segnale Potenza** un segnale  $s(t)$  se e solo se  $0 < P_s < \infty$  e allora  $E_s \rightarrow +\infty$



## 4 Segnali Discreti

A differenza dei segnali continui, i segnali discreti sono funzioni con Dominio discreto, solitamente rappresentate nella seguente maniera:

$$y = f(n), \quad n \in \mathbb{Z}$$

Enunciamo ora tutte le proprietà, in maniera speculare, che abbiamo già descritto per i segnali continui:

### 4.1 Operazione sui Segnali Discreti

#### 4.1.1 Traslazione

Dato un segnale  $y = f(n)$  definiamo  $y' = f(n - n_0)$  traslazione in avanti di  $n_0$ ; definiamo invece  $y'' = f(n + n_0)$  traslazione indietro di  $n_0$ .

#### 4.1.2 Decimazione/UpSampling

Dato  $y = f(n)$  il segnale con  $n \in \mathbb{Z}$ , il segnale decimato è:

$$y = f(an) \text{ con } a \in \mathbb{Z} \text{ e } |a| \geq 1 \quad (38)$$

Questa operazione è detta *decimazione* dal momento che è come se prelevassi selettivamente i valori ogni  $a$  campioni del segnale di partenza

#### 4.1.3 Interpolazione/DownSampling

Dato  $y = f(n)$  il segnale con  $n \in \mathbb{Z}$ , il segnale interpolato è:

$$y = f\left(\frac{n}{a}\right) \text{ con } a \in \mathbb{Z} \text{ e } |a| \geq 1 \quad (39)$$

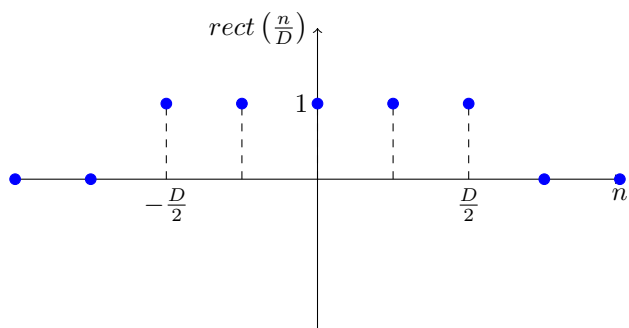
In parole povere, questa operazione non fa altro che distanziare ogni campione di  $a$  intervalli.

## 4.2 Segnali Notevoli

### 4.2.1 Rettangolo Discreto

Viene definito come:

$$\text{rect}\left(\frac{n}{D}\right) = \begin{cases} 1 & \text{se } \left|\frac{n}{D}\right| \leq \frac{1}{2} \\ 0 & \text{altrimenti} \end{cases} \quad (40)$$



### 4.2.2 Gradino Unitario

Anche in questo caso, la formulazione è identica al Gradino Unitario continuo, ossia:

$$u(t) = \begin{cases} 1 & \text{se } n \geq 0 \\ 0 & \text{se } n < 0 \end{cases} \quad (41)$$

### 4.2.3 Impulso Discreto

Questo segnale è il parente "discreto" della *Delta di Dirac* (23) ma è più semplice da introdurre, dal momento che la sua formula è:

$$\delta(n) = \begin{cases} 1 & \text{se } n = 0 \\ 0 & \text{se } n \neq 0 \end{cases} \quad (42)$$

Possiamo dunque notare che, a differenza della delta, l'impulso discreto è una vera e propria funzione.

### 4.2.4 Proprietà dell'Impulso Discreto

- **Area Unitaria:** è abbastanza ovvia

$$\sum_{n=-\infty}^{+\infty} \delta(n) = 1 \quad (43)$$

- **Prodotto Scalare con  $\delta(n)$**

$$\langle f, \delta \rangle = \sum_{n=-\infty}^{\infty} f(n)\delta(n) = f(0) \quad (44)$$

- **Prodotto con  $\delta(n)$ :**

$$f(n)\delta(n - n_0) = f(n_0)\delta(n - n_0) \quad (45)$$

- **Integrazione Discreta:**

$$\sum_{i=-\infty}^{\infty} \delta(i) = \begin{cases} 1 & \text{se } n \geq 0 \\ 0 & \text{se } n < 0 \end{cases} = u(n) \quad (46)$$

#### 4.2.5 Segnali Periodici Discreti

Dato  $s(n)$  un segnale con  $n \in \mathbb{Z}$  è periodico se e solo se

$$s(n) = s(n + kN), \text{ con periodo } N, \forall n, k \in \mathbb{Z} \quad (47)$$

Se  $N$  è il periodo di  $s(n)$ , allora la frequenza sarà  $\frac{1}{N}$ ; Dal momento che  $|N| \geq 1$  sempre (non ha senso avere periodo nullo), allora la frequenza è sempre frazionaria. Si può dimostrare che solo un segnale con frequenza razionale può essere periodico, mentre se è irrazionale non lo potrà mai essere.

#### 4.2.6 Fasore Discreto

La funzione è molto simile al fasore continuo:

$$s(n) = e^{2\pi j f_0 n} \quad (48)$$

Dove  $f_0$  dev'essere razionale altrimenti la funzione non sarà periodica.

## 4.3 Proprietà dei Segnali Discreti

### 4.3.1 Durata

La durata di un segnale discreto è la somma delle "stecche" non nulle di un grafico, o meglio, la lunghezza del supporto di  $s(t)$

$$D = n_2 - n_1 + 1 \quad (49)$$

Dove  $n_2, n_1$  sono gli estremi non nulli del segnale.

### 4.3.2 Area

Dato  $s(n), n \in \mathbb{Z}$

$$A = \sum_{n=-\infty}^{+\infty} s(n) \quad (50)$$

### 4.3.3 Valor Medio

Il valor medio è un  $\tilde{s}$  tale che la funzione costante  $s(t)' = \tilde{s}$  ha la stessa area di  $s(t)$

$$\tilde{s} = \lim_{N \rightarrow +\infty} \frac{1}{2N+1} \sum_{n=-N}^{+N} s(n) \quad (51)$$

### 4.3.4 Potenza Istantanea

Non è altro che il modulo del segnale in un determinato istante  $n$ , ossia:

$$P_s(n) = \begin{cases} s(n)\overline{s(n)} & \text{se } s(n) \in \mathbb{C} \\ s(n)^2 & \text{altrimenti} \end{cases} \quad (52)$$

### 4.3.5 Energia

è l'area della Potenza Istantanea, ossia:

$$E_s = \sum_{n=-N}^{+N} |s(n)|^2 \quad (53)$$

### 4.3.6 Potenza Media

è il valor medio della Potenza Istantanea, ossia:

$$P_s = \lim_{N \rightarrow +\infty} \frac{1}{2N+1} \sum_{n=-N}^{+N} |s(n)|^2 \quad (54)$$

### 4.3.7 Segnali Potenza ed Energia

Anche in questo caso possiamo fare la distinzione tra i segnali potenza e i segnali energia, la definizione è la stessa presentata alla sezione (3.3.7)

## 5 Sistemi

In forma generale, un sistema descrive una relazione/processo di Causa-Effetto tra un INPUT ed un OUTPUT. In particolare nel corso ci focalizzeremo sui sistemi di Elaborazione dei Segnali.

Un **Sistema di Elaborazione dei Segnali** può essere vista come una relazione o legge di trasformazione di un segnale in un altro, dunque, formalmente:

Dato un sistema  $S[\cdot]$ , possiamo dire che:

$$y(b) = S[x(t)] \quad (55)$$

Dove  $y(b)$  è il segnale in output mentre  $x(t)$  è il segnale in input. In base alla continuità dei segnali e dei domini possiamo distinguere i sistemi in: **Continui, Discreti e Misti**

### 5.1 Sistemi Continui

Dato un sistema  $y(b) = S[x(a)]$ , con  $b \in B, a \in A$  questo si dice continuo se e solo se:

- $A, B$  sono insiemi continui
- $y(b), x(a)$  sono funzioni continue

Una classe importante di questi sistemi sono i **Sistemi Tempo-Continui** in cui la variabile è il tempo.

**Esempi.**

- **Ritardatori**

$$y(t) = S[x(t)] = x(t - t_0) \quad (56)$$

Questo sistema non fa altro che ritardare il segnale  $x(t)$  di una quantità di  $t_0$  secondi.

- **Quantizzatore**

$$y(t) = \text{ROUND}(x(t)) \quad (57)$$

Questo sistema arrotonda ogni valore di  $x(t)$  al suo intero più vicino.

- **Integratore**

$$y(t) = S[x(t)] = \int_{t-T}^t x(\tau) d\tau \quad (58)$$

Questo sistema associa ad ogni istante  $t$  l'area compresa tra  $t - T$  e  $t$

## 5.2 Proprietà dei Sistemi Tempo-Continui

### 5.2.1 Non Dispersività

Un sistema  $S[\cdot]$  è non dispersivo se e solo se il sistema dipende solo da  $t$  e dal valore attuale di  $x(t)$ , ossia:

$$y(t) = S[t; x(t)] \quad (59)$$

possiamo dire che questi sistemi sono senza memoria perchè non considerano per nulla il passato.

**Esempio: Amplificatore Ideale**

$$y(t) = A \cdot x(t) \quad (60)$$

### 5.2.2 Causalità

Un sistema  $S[\cdot]$  è causale se e solo se:

$$y(t) = S[t; x(\tau) \text{ dove } \tau \leq T] \quad (61)$$

Questi sistemi associano ad ogni istante  $t$  un valore dipendente non soltanto dal tempo attuale e dal valore  $x(t)$ , ma anche della storia di  $x(t)$ . Bene o male tutti i sistemi reali sono causali, perchè dipendono anche dagli istanti passati di un segnale. Esistono (ma solo in teoria) i segnali **Anticausali**, in cui il sistema dipende dall'istante attuale e quelli futuri (e quindi il futuro causerebbe il presente, impossibile nella realtà)

### 5.2.3 Stabilità BIBO (Bounded Input, Bounded Output)

Un sistema è **Stabile** se e solo se per ogni input limitato, l'uscita è sempre limitata, ossia:

Dato  $S[\cdot]$  dove  $y(t) = S[x(t)]$  con  $|x(t)| \leq K_x < +\infty \forall t \in \mathbb{R}$  allora:

$$|y(t)| \leq K_y < +\infty \forall t \in \mathbb{R} \quad (62)$$

Dove  $K_x, K_y$  sono rispettivamente il limite superiore/inferiore di  $x(t), y(t)$

**Esempi:** L'Amplificatore Ideale (60).

### 5.2.4 Omogeneità

Dato un sistema  $S[\cdot] : y(t) = s[x(t)]$ ,  $S$  è detto *omogeneo* se e solo se vale questa proprietà:

Dato come input  $a \cdot x(t)$  con  $a \in \mathbb{R}$  allora:

$$S[a \cdot x(t)] = a \cdot y(t) \quad (63)$$

### 5.2.5 Additività

Dato un sistema  $S[\cdot] : y(t) = s[x(t)]$ ,  $S$  è detto *additivo* se e solo se vale questa proprietà:

Dato come input  $x(t) = \sum_{i=1}^N x_i(t)$  allora:

$$S[x(t)] = S\left[\sum_{i=1}^N x_i(t)\right] = \sum_{i=1}^N y_i(t) \quad (64)$$

### 5.2.6 Linearità

Un sistema  $S[\cdot] : y(t) = s[x(t)]$  è detto *lineare* se è sia omogeneo che additivo con gli stessi pesi, ossia se:

Dato  $x(t) = \sum_{i=1}^N a_i x_i(t)$  allora:

$$S[x(t)] = S\left[\sum_{i=1}^N a_i x_i(t)\right] = \sum_{i=1}^N a_i y_i(t) \quad (65)$$

Questa proprietà è dovuta, nei segnali, al *Principio di sovrapposizione degli Effetti*, ossia:

*La risposta di un sistema ad una combinazione lineare degli ingressi è uguale alla combinazione lineare con gli stessi coefficienti delle risposte ad ogni singolo ingresso*

#### Esempi.

- **Integratore definito nel tempo:** grazie alla proprietà di linearità dell'integrale, questo sistema è lineare:

$$y(t) = \int_{t-T}^t \sum_{i=1}^N a_i x_i(\tau) d\tau = \sum_{i=1}^N \int_{t-T}^t a_i x_i(\tau) d\tau = \sum_{i=1}^N a_i y_i(t) \quad (66)$$

### 5.2.7 Tempo-Invarianza

Dato un sistema  $S[\cdot] : y(t) = S[x(t)]$  tempo-continuo,  $S$  è tempo-invariante se e solo se:

$$seS[x(t - t_0)] = y(t - t_0) \quad \forall t_0 \in \mathbb{R} \quad (67)$$

Questa proprietà afferma che il sistema non dipende da un eventuale ritardo(o anticipo) del segnale.

## 6 Sistemi Lineari e Tempo Invarianti (LTI) Continui

Sia la linearità che la tempo invarianza sono così importanti che dedicheremo un intero capitolo ai sistemi LTI (o Lineari e Tempo-Invarianti), dal momento

che tali proprietà implicano altre proprietà altrettanto interessanti, come quella legata alla risposta all'impulso. Riprendiamo la proprietà (26) della delta di Dirac e un segnale  $x(t)$ . Consideriamo ora il sistema

$$S \left[ \int_{\mathbb{R}} x(\tau) \delta(t - \tau) d\tau \right]$$

Se  $S[\cdot]$  è lineare possiamo considerare  $x(\tau)$  come coefficiente e ottenere:

$$\int_{\mathbb{R}} x(\tau) S[\delta(t - \tau)] d\tau \quad (68)$$

Possiamo definire la *risposta all'impulso da parte del sistema* come  $h(t) := S[\delta(t)]$ . Se  $S$  è anche tempo-invariante, allora

$$h(t - t_0) = S[\delta(t - t_0)] \quad (69)$$

Possiamo riscrivere l'equazione di partenza se  $S[\cdot]$  è lineare e tempo-invariante come:

$$x(t) = \int_{\mathbb{R}} x(\tau) h(t - \tau) d\tau \quad (70)$$


## 6.1 Prodotto/Integrale di Convoluzione

Definiamo:

$$x(t) * h(t) = \int_{-\infty}^{+\infty} x(\tau) h(t - \tau) d\tau \quad (71)$$

E si dice  $x(t)$  *convoluto con  $h(t)$* ; è un'operazione molto importante in segnali, tanto da avere una definizione. L'importanza di  $h(t)$  noi la possiamo apprezzare quando dobbiamo studiare un segnale ignoto: passando al sistema un impulso, e osservando l'output, tale output sarà proprio  $x(t)$  convoluto con  $h(t)$  (se il sistema è lineare e tempo invariante).

### 6.1.1 Proprietà

 Lezione 8  
21/10/2024

**Commutativa.** Dati 2 segnali  $f, g$

$$f(t) * g(t) = g(t) * f(t) \quad (72)$$

Tale proprietà è facile da dimostrare:

Consideriamo la convoluzione  $f(t) * g(t) = \int_{-\infty}^{+\infty} f(\tau) g(t - \tau) d\tau$ . Effettuiamo ora un cambio di variabile:

$$\begin{cases} x = t - \tau \\ \tau = t - x \\ dx = -d\tau \end{cases}$$



Sostituiamo ora le  $\tau$  per avere un integrale in  $x$  (NB: gli estremi di integrazione si invertono dal momento che  $x$  è un "ribaltamento" di  $\tau$ ):

$$\begin{aligned}\int_{-\infty}^{+\infty} f(\tau)g(t-\tau)d\tau &= \\ \int_{+\infty}^{-\infty} f(t-x)g(x)(-dx) &= \\ \int_{-\infty}^{+\infty} g(x)f(t-x)dx &= \\ g(t) * f(t)\end{aligned}$$

Alla fine ho risolto il  $-dx$  semplicemente invertendo ancora gli estremi di integrazione. Il significato di questa proprietà è importante: se è vero che è possibile studiare un sistema LTI rispetto alla sua risposta all'impulso, è vero anche il contrario, è possibile studiare un sistema rispetto ad un segnale  $x(t)$ .

**Associativa.** Dati 3 segnali  $f, g, h$  allora:

$$f(t) * [g(t) * h(t)] = [f(t) * g(t)] * h(t) \quad (73)$$

**Distributiva (rispetto alla somma).** Dati 3 segnali  $f, g, h$ :

$$f(t) * [g(t) + h(t)] = f(t) * g(t) + f(t) * h(t) \quad (74)$$

**Durata della Convoluzione.** Dati 2 segnali  $f, g$  con durata rispettivamente  $D_1, D_2$  allora la durata di  $f(t) * g(t)$  è  $D_1 + D_2$ .

**Convoluzione con  $\delta(t)$**  Dato un segnale  $f(t)$  allora:

$$f(t) * \delta(t - t_0) = f(t - t_0) \quad (75)$$

Possiamo infatti dire che  $\delta(t)$  è l'operatore neutro dell'operazione di convoluzione, questo perchè il delta è una funzione che avviene tutta in un istante e quindi non altera la funzione di partenza; una sua eventuale traslazione, trasla la funzione  $f(t)$ . La dimostrazione è banale perchè si basa sulla proprietà del campionamento della delta (26).

## 6.2 Proprietà dei Sistemi LTI Continui

### 6.2.1 Causalità

Dato un sistema LTI  $S[\cdot] : y(t) = S[x(t)]$ ,  $S$  è causale se  $y(t)$  accade DOPO il segnale  $x(t)$ , questo per il concetto stesso di causalità:  $y(t)$  è la risposta all'impulso di  $x(t)$  quindi DEVE accadere dopo, in particolare si dice che:

$$\text{Un sistema è causale} \iff h(t) = 0 \quad \forall t < 0 \quad (76)$$

Proprio per questo motivo, dal momento che  $y(t)$  può essere descritto come risposta all'impulso, ossia come convoluzione tra  $x(t)$  e  $h(t)$ , se il sistema è causale allora possiamo ridefinire la  $y(t)$  come integrale dall'infinito passato fino all'istante  $t$  presente, ossia:

$$y(t) = \int_{-\infty}^t x(\tau)h(t-\tau)d\tau \quad (77)$$

Possiamo anche, per la proprietà commutativa (72), riscrivere la  $y(t)$  come integrale tra la risposta  $h(t)$  e il segnale  $x(t)$  ribaltato e traslato di tutti i valori di  $\tau$  da 0 fino all'infinito futuro

$$y(t) = \int_0^{+\infty} h(\tau)x(t-\tau)d\tau \quad (78)$$

### 6.2.2 Stabilità BIBO

Dato un sistema LTI  $S[\cdot] : y(t) = S[x(t)]$ ,  $S[\cdot]$  è BIBO se e solo se:

$$\forall x(t) : |x(t)| < M < \infty \rightarrow |y(t)| < N < \infty \quad (79)$$

In particolare possiamo osservare che:

$$|y(t)| = |S[x(t)]| = \left| \int_{-\infty}^{+\infty} h(\tau)x(t-\tau)d\tau \right|$$

Sappiamo inoltre che, data una qualsiasi  $f(x)$  vale questa disuguaglianza:

$$\left| \int_{-\infty}^{+\infty} f(x)dx \right| \leq \int_{-\infty}^{+\infty} |f(x)|dx$$

Dunque

$$y(t) \leq \int_{-\infty}^{+\infty} |h(\tau)x(t-\tau)|d\tau$$

Per la proprietà del valore assoluto  $|ab| = |a||b|$  allora:

$$\int_{-\infty}^{+\infty} |h(\tau)x(t-\tau)|d\tau = \int_{-\infty}^{+\infty} |h(\tau)||x(t-\tau)|d\tau$$

Ma  $x(t-\tau) \leq M$  perchè abbiamo ipotizzato che il segnale in ingresso sia limitato, dunque

$$\int_{-\infty}^{+\infty} |h(\tau)| |x(t-\tau)| d\tau \leq M \int_{-\infty}^{+\infty} |h(\tau)| d\tau$$

In definitiva:

$$y(t) \leq M \int_{-\infty}^{+\infty} |h(\tau)| d\tau$$

Possiamo dunque affermare che condizione necessaria e sufficiente affinchè un sistema sia stabile BIBO è che  $\int_{-\infty}^{+\infty} |h(\tau)| d\tau$  converga, altrimenti  $y(t)$  è illimitato.

**Teorema.** Se la risposta all'impulso del Sistema non è assolutamente convergente allora non è BIBO Stabile

**Ipotesi.** Ipotizziamo che:

1. Il sistema sia BIBO Stabile,  $|y(t)| < N < \infty$
2.  $\int_{-\infty}^{+\infty} |h(\tau)| d\tau = +\infty$
3. consideriamo una  $x(t)$  limitata, ossia  $x(t) = \text{sign}[h(-t)]$

**Dimostrazione.** Possiamo dire che per  $t = 0$  la risposta all'impulso è:

$$y(t) = \int_{-\infty}^{+\infty} h(\tau) x(0-\tau) d\tau = \int_{-\infty}^{+\infty} h(\tau) \text{sign}[h(-\tau)] d\tau$$

per  $t = 0$ ,  $\text{sign}[h(-\tau)] = 1$  dunque:

$$\int_{-\infty}^{+\infty} h(\tau) \text{sign}[h(-\tau)] d\tau = \int_{-\infty}^{+\infty} h(\tau) d\tau$$

Inoltre

$$\begin{aligned} \int_{-\infty}^{+\infty} h(\tau) d\tau &\leq \int_{-\infty}^{+\infty} |h(\tau)| d\tau = |y(t)| \\ |y(t)| &= \int_{-\infty}^{+\infty} |h(\tau)| d\tau = \infty \end{aligned}$$

ASSURDO, allora  $y(t)$  è instabile.

Possiamo dunque affermare che: Un sistema è BIBO se e solo se:

$$\int_{-\infty}^{+\infty} |h(\tau)| d\tau < \infty \quad (80)$$

### 6.2.3 Risposta in frequenza

Consideriamo la risposta del sistema rispetto al fasore di frequenza  $f$ :

$$x_f(t) = e^{j2\pi ft}$$

Dal momento che il sistema è LTI allora:

$$\begin{aligned} y(t) &= h(t) * x_f(t) = \\ &= \int_{-\infty}^{+\infty} h(\tau) e^{j2\pi f(t-\tau)} d\tau = \\ &= \int_{-\infty}^{+\infty} h(\tau) e^{j2\pi ft} e^{-j2\pi \tau} d\tau = \\ &= e^{j2\pi ft} \int_{-\infty}^{+\infty} h(\tau) e^{-j2\pi \tau} d\tau \end{aligned}$$

Possiamo vedere  $\int_{-\infty}^{+\infty} h(\tau) e^{-j2\pi \tau} d\tau$  come una sorta di convoluzione in 0, che noi chiamiamo  $\bar{H}(f)$  e definiamo **Risposta in Frequenza**. Possiamo riscrivere l'equazione come:

$$y(t) = H(f)x_f(t) \quad (81)$$

Da  $H(f)$  possiamo definire:

- **Risposta in Ampiezza:**  $|H(f)|$
- **Risposta in Fase:**  $\angle H(f)$

Questa proprietà dei LTI è molto importante poichè ci dice che la risposta in frequenza di un qualsiasi segnale  $x(t)$  è un altro segnale **alla stessa frequenza**, magari traslato o amplificato, cioè la risposta di un fasore è ancora un fasore di frequenza  $f$  ma moltiplicato per un valore complesso  $H(f)$

## 6.3 Proprietà Sistemi Discreti

Un sistema  $S[\cdot] : y(t) = S[x(t)]$  è detto discreto se e solo se  $x, y$  sono segnali discreti; possiamo enunciare per tali sistemi le stesse proprietà dei sistemi LTI continui:

**Causalità.** Ha la medesima formulazione dei sistemi LTI Continui (6.2.1)

**Stabilità BIBO.** Ha la medesima formulazione dei sistemi LTI Continui (6.2.2)

**Linearità.** Ha la medesima formulazione dei sistemi LTI Continui (5.2.6)

**Tempo-Invarianza.** La medesima formulazione dei sistemi LTI Continui (5.2.7)

## 7 Sistemi Lineari e Tempo-Invarianti (LTI) Discreti

Lezione 9  
28/10/2024

Consideriamo un sistema  $S[\cdot] : y(n) = S[x(n)]$  con  $n \in \mathbb{Z}$  Lineare e Tempo-Invariante; possiamo riscrivere  $x(n)$  come somma infinita tra i prodotti tra l'impulso ideale e il loro peso, ossia come:

$$x(n) = \sum_{i=-\infty}^{+\infty} x(i)\delta(n-i)$$

Allora:

$$\begin{aligned} y(n) &= S[x(n)] = \\ &= S \left[ \sum_{i=-\infty}^{+\infty} x(i)\delta(n-i) \right] = \\ &= \sum_{i=-\infty}^{+\infty} x(i) \underbrace{S[\delta(n-i)]}_{h(n)} \end{aligned}$$

Dal momento che  $S[\cdot]$  è anche Tempo-Invariante, allora:

$$h(n - n_0) = S[\delta(n - n_0)]$$

In definitiva, anche nel caso discreto, possiamo enunciare la proprietà fondamentale dei sistemi LTI, ossia che un qualsiasi sistema LTI può essere descritto come convoluzione tra l'ingresso e la risposta all'impulso del sistema:

$$y(n) = S[x(n)] = x(n) * h(n) \quad (82)$$

### 7.1 Causalità

Un sistema  $S[\cdot]$  LTI discreto è **Causale** se e solo se:

$$h(n) = 0 \quad \forall n < 0, n \in \mathbb{Z} \quad (83)$$

Dunque, come avevamo detto nel continuo,

$$y(n) = x(n) * h(n) = \sum_{i=-\infty}^n x(i)h(n-i) = \sum_{i=0}^{+\infty} h(i)x(n-i) \quad (84)$$

Ossia un sistema LTI causale può essere scritto come la somma infinita del prodotto degli ingressi e degli impulsi dall'infinito passato al presente o come somma infinita degli ingressi presenti e passati per l'impulso

## 7.2 Stabilità BIBO

Per definizione, un sistema LTI  $S[\cdot]$  è stabile BIBO se e solo se:

$$\forall x(n) : |x(n)| \leq M < \infty \longrightarrow |y(n)| \leq N < \infty \quad (85)$$

Ma possiamo ricavare un'altra definizione:

$$\begin{aligned} |y(n)| &= \left| \sum_{i=-\infty}^{+\infty} h(i)x(n-i) \right| \\ \left| \sum_{i=-\infty}^{+\infty} h(i)x(n-i) \right| &\leq \sum_{i=-\infty}^{+\infty} |h(i)||x(n-i)| \\ \sum_{i=-\infty}^{+\infty} |h(i)||x(n-i)| &\leq M \sum_{i=-\infty}^{+\infty} |h(i)| \end{aligned}$$

Allora  $S[\cdot]$  è stabile BIBO se  $\sum_{i=-\infty}^{+\infty} |h(i)| < \infty$ , cioè se la risposta all'impulso è assolutamente sommabile

**Ma è anche necessaria la condizione?** Dimostriamo per assurdo

**Ipotesi.**

1.  $y(n)$  è stabile
2.  $x(n)$  è limitata,  $x(n) = \text{sign}[h(-n)]$
3.  $\sum_{i=-\infty}^{+\infty} |h(i)| = \infty$

**Dimostrazione.** Calcoliamo  $y(n)$  per  $n = 0$ :

$$\begin{aligned} y(0) &= \sum_{i=-\infty}^{+\infty} |h(i)||x(-i)| = \\ &= \sum_{i=-\infty}^{+\infty} |h(i)|\text{sign}[|h(i)|] = \\ &= \sum_{i=-\infty}^{+\infty} |h(i)| \end{aligned}$$

Per ipotesi (3)  $= \sum_{i=-\infty}^{+\infty} |h(i)| = +\infty$  dunque  $y(t)$  non è stabile, ASSURDO!  
Allora  $= \sum_{i=-\infty}^{+\infty} |h(i)| < +\infty$  In definitiva possiamo affermare che:

$$\text{Un sistema LTI è BIBO} \iff \sum_{i=-\infty}^{+\infty} |h(i)| < +\infty \quad (86)$$

### 7.3 Convoluzione Discreta

Definiamo  $a(n)$  convoluto con  $b(n)$  la seguente operazione

$$c(n) = a(n) * b(n) = \sum_{i=-\infty}^{+\infty} a(i)b(n-i) \quad (87)$$

#### 7.3.1 Proprietà

Enunciamo qui anche le proprietà di cui gode la convoluzione discreta:

**Commutativa:** La convoluzione è commutativa, allora vale che

$$f(n) * g(n) = g(n) * f(n)$$

**Dimostrazione.**

$$f(n) * g(n) = \sum_{i=-\infty}^{+\infty} f(i)g(n-i)$$

Effettuiamo un cambio di variabile:

$$\begin{cases} m = n - i \\ i = n - m \end{cases}$$

Riscriviamo:

$$\begin{aligned} \sum_{i=-\infty}^{+\infty} f(i)g(n-i) &= \sum_{n-m=-\infty}^{+\infty} f(n-m)g(m) = \\ &= \sum_{m=+\infty}^{-\infty} f(n-m)g(m) = \\ &= \sum_{m=-\infty}^{+\infty} g(m)f(n-m) = \\ &= g(m) * f(m) \end{aligned}$$

In questo caso possiamo scambiare senza problemi gli estremi della sommatoria dal momento che non dobbiamo preoccuparci del segno (mentre nell'integrale dovevamo considerare pure il  $d\tau$  che dava un verso di integrazione).

**Associativa** Ha la stessa formulazione della Convoluzione Continua (72)

**Distributiva (rispetto alla Somma)** La stessa formulazione della Convoluzione Continua (74)

**Convoluzione con  $\delta(n)$**  La stessa formulazione della Convoluzione Continua (75)

## 8 Analisi In Frequenza

I segnali visti finora sono stati presentati come funzioni descritte da un'espressione analitica; alcuni studiosi, tra cui Fourier, si accorsero che tali funzioni potevano essere scomposte in somme di altre funzioni (in particolare di fasori, seni e coseni), ossia è possibile vedere un segnale come **combinazione lineare** di segnali elementari. Uno strumento che permette di trasformare un segnale in una combinazione lineare di segnali elementari è lo **sviluppo in serie di Fourier**.

### 8.1 Sviluppo In Serie Di Fourier

**Teorema.** Data una funzione *periodica*  $f(t) : f(t) = f(t + kT) \forall t \in \mathbb{R}, k \in \mathbb{Z}$  e *regolare* (ossia che rispetta le condizioni di Dirichlet), allora  $f(t)$  può essere riscritta come una combinazione lineare di seni e coseni con i propri pesi e le cui frequenze sono multiple di  $\frac{1}{T}$  (con  $T$  il periodo di  $f(t)$ ).

Consideriamo ora i vari multipli:

- $n = 0 \rightarrow f_0 = 0$  è la cosiddetta *componente continua* (un valore costante).
- $n = 1 \rightarrow f_1 = \frac{1}{T}$  viene detta la *frequenza fondamentale*.
- $\forall |n| > 1 \rightarrow f_n = \frac{n}{T}$  viene detta *armonica n-esima*.

Gli sviluppi in serie di Fourier si presentano in forma **Trigonometrica** ed **Esponenziale**

#### 8.1.1 Forma Esponenziale

**Equazione di Sintesi.** Nella forma esponenziale possiamo esprimere la funzione  $f(t)$  come combinazione lineare di fasori (3.2.6)  $p_n(t)$  a frequenza  $f_n = \frac{1}{T}$  con  $T$  il periodo di  $f$ ; è detta *di sintesi* perchè otteniamo  $f$  dalla combinazione di fasori

$$f(t) = \sum_{n=-\infty}^{+\infty} c_n e^{j2\pi \frac{n}{T} t} \quad (t \in \mathbb{R})$$

**Equazione di Analisi.** Al contrario della sintesi, noi vogliamo *scomporre*  $f$  per ottenere i fasori che la combinano:

$$c_n = \frac{1}{T} \int_T f(t) e^{-j2\pi \frac{n}{T} t} dt \quad (n \in \mathbb{Z})$$

Dove  $\int_T$  è un integrale *di durata*  $T$ , ossia che può andare da 0 a  $T$ , o da  $-T/2$  a  $T/2$



### 8.1.2 Forma Trigonometrica

Anche se storicamente è stato al contrario, possiamo derivare a partire dalla forma esponenziale, la forma trigonometrica dello sviluppo.

#### I Equazione di Sintesi

$$f(t) = \sum_{n=-\infty}^{+\infty} c_n e^{j2\pi \frac{n}{T} t} = c_0 + \sum_{n=-\infty}^{+\infty} [c_n e^{j2\pi \frac{n}{T} t} + c_{-n} e^{-j2\pi \frac{n}{T} t}] \quad (\text{separo i } c_n)$$

Consideriamo ora  $c_{-n}$

$$\begin{aligned} c_{-n} &= \frac{1}{T} \int_T f(t) e^{-j2\pi \frac{n}{T} t} dt = \\ &= \frac{1}{T} \int_T f(t) \overline{e^{j2\pi \frac{n}{T} t}} dt = \overline{c_n} \end{aligned}$$

Possiamo vedere il complesso  $-j$  come il coniugato del complesso di partenza, dunque:

$$\begin{aligned} f(t) &= c_0 + \sum_{n=-\infty}^{+\infty} [c_n e^{j2\pi \frac{n}{T} t} + \overline{c_n} e^{-j2\pi \frac{n}{T} t}] = \\ &= c_0 + \sum_{n=-\infty}^{+\infty} [c_n e^{j2\pi \frac{n}{T} t} + \overline{c_n e^{j2\pi \frac{n}{T} t}}] = \\ &= c_0 + \sum_{n=-\infty}^{+\infty} 2\Re[c_n e^{j2\pi \frac{n}{T} t}] \quad (\text{proprietà 1.3.2}) \end{aligned}$$

Possiamo dunque notare che, a partire dalla scomposizione di una funzione reale in fasori (complessi) otteniamo ancora qualcosa di completamente reale. Poniamo ora  $c_n = \rho_n e^{j\theta_n}$ , ossia in forma polare:

$$\begin{aligned} f(t) &= c_0 + \sum_{n=-\infty}^{+\infty} 2\Re[\rho_n e^{j\theta_n} e^{j2\pi \frac{n}{T} t}] = \\ &= c_0 + \sum_{n=-\infty}^{+\infty} 2\Re[\rho_n e^{j2\pi \frac{n}{T} t + \theta_n}] = \end{aligned}$$

Dal momento che  $\Re[e^{j\theta}] = \cos(\theta)$  allora:

$$f(t) = c_0 + 2 \sum_{n=1}^{+\infty} \rho_n \cos\left(2\pi \frac{n}{T} t + \theta_n\right) \quad (88)$$

**II Equazione di Sintesi.** Ora poniamo  $c_n = a_n - jb_n$ :

$$\begin{aligned} f(t) &= c_o + \sum_{n=-\infty}^{+\infty} 2\Re [c_n e^{j2\pi \frac{n}{T}t}] = \\ &= c_o + \sum_{n=-\infty}^{+\infty} 2\Re [(a_n - jb_n) e^{j2\pi \frac{n}{T}t}] = \\ &= c_o + \sum_{n=-\infty}^{+\infty} 2\Re [a_n e^{j2\pi \frac{n}{T}t} - jb_n e^{j2\pi \frac{n}{T}t}] = \end{aligned}$$

Riscriviamo ora  $j$  come  $j = e^{j\frac{\pi}{2}}$ :

$$f(t) = c_o + \sum_{n=-\infty}^{+\infty} 2\Re [a_n e^{j2\pi \frac{n}{T}t} - b_n e^{j2\pi \frac{n}{T}t + \frac{\pi}{2}}] =$$

Sapendo che, ancora una volta,  $\Re[e^{j\theta}] = \cos(\theta)$  allora:

$$= c_o + 2 \sum_{n=-\infty}^{+\infty} \left[ a_n \cos\left(2\pi \frac{n}{T}t\right) - b_n \cos\left(2\pi \frac{n}{T}t + \frac{\pi}{2}\right) \right] =$$

Dal momento che  $\cos\left(\theta + \frac{\pi}{2}\right) = -\sin(\theta)$  allora:

$$f(t) = c_o + 2 \sum_{n=-\infty}^{+\infty} \left[ a_n \cos\left(2\pi \frac{n}{T}t\right) + b_n \sin\left(2\pi \frac{n}{T}t\right) \right] \quad (89)$$

Cerchiamo, a questo punto, di derivare  $a_n, b_n$  a partire da  $c_n$ :

$$\begin{aligned} a_n &= \Re[c_n] = \Re \left[ \frac{1}{T} \int_T f(t) e^{-j2\pi \frac{n}{T}t} dt \right] = \\ &= \frac{1}{T} \int_T f(t) \Re [e^{-j2\pi \frac{n}{T}t}] dt = \\ &= \frac{1}{T} \int_T f(t) \cos\left(2\pi \frac{n}{T}t\right) dt \end{aligned}$$

$$\begin{aligned} b_n &= -\Im[c_n] = -\Im \left[ \frac{1}{T} \int_T f(t) e^{-j2\pi \frac{n}{T}t} dt \right] = \\ &= -\frac{1}{T} \int_T f(t) \Im [e^{-j2\pi \frac{n}{T}t}] dt = \\ &= -\frac{1}{T} \int_T f(t) \sin\left(-2\pi \frac{n}{T}t\right) dt = \end{aligned}$$

Per la proprietà antisimmetrica del seno  $\sin(-\theta) = -\sin(\theta)$  otteniamo:

$$b_n = \frac{1}{T} \int_T f(t) \sin\left(2\pi \frac{n}{T} t\right) dt$$

In definitiva, grazie allo sviluppo in serie di Fourier, possiamo trasformare una funzione **continua, periodica** e regolare in una somma **discreta** di fasori con pesi  $\{c_n\}$  nel periodo  $[0, T]$ ; inoltre, grazie ai coefficienti  $c_n$  è possibile conoscere il contributo (o ampiezza) dell' $n$ -esima armonica nello sviluppo di  $f(t)$ ; proprio per questo motivo i  $c_n$  rappresentano lo **spettro di  $f(t)$** . La funzione  $f$  di partenza esiste nel **dominio del tempo** mentre i  $c_n$  nel **dominio delle frequenze**

Una cosa che possiamo notare è che  $c_0$  è il valor medio della funzione ed è il contributo che "solleva" la funzione; questo perchè seni/coseni che definiscono lo sviluppo hanno valor medio nullo.

**Esempi.** Vedi sul quaderno lo sviluppo del dente di sega e dell'onda quadra.

## 8.2 Trasformata di Fourier

Finora gli sviluppi in serie riguardano solo funzioni continue e periodiche, mentre tutte le altre funzioni non godono di questa proprietà. In realtà Fourier scoprì un modo per analizzare lo spettro di qualsiasi funzione reale:

Consideriamo una funzione  $f(t)$  **continua e non periodica** e definiamo la sua versione periodica  $f_T(t)$  come:

$$f_T(t) = f(t) \quad \left(-\frac{T}{2} \leq t \leq \frac{T}{2}\right)$$

Tale che  $f_T(t) = f_T(t + kT)$  con  $k \in \mathbb{Z}$  e  $T$  il periodo. Quello che fa  $f_T(t)$  è di replicare il comportamento di  $f(t)$  nell'intervallo  $[-\frac{T}{2}; \frac{T}{2}]$  per tutto  $\mathbb{R}$ . Dal momento che  $f_T(t)$  è periodica e continua, posso applicare lo sviluppo in serie di Fourier:

$$\begin{aligned} f_T(t) &= \sum_{n=-\infty}^{+\infty} c_n e^{j2\pi j \frac{n}{T} t} = \\ &= \sum_{n=-\infty}^{+\infty} c_n e^{j2\pi j f_n t} \quad \left(\text{con } f_n = \frac{n}{T}\right) \end{aligned}$$

Dove  $c_n$  è:

$$c_n = \frac{1}{T} \int_{-\frac{T}{2}}^{\frac{T}{2}} f(t) e^{-j2\pi f_n t} dt$$

Consideriamo ora  $\frac{1}{T} = \Delta f$  ossia il passo unitario con cui incrementano le frequenze delle armoniche:

$$c_n = \Delta f \int_{-\frac{T}{2}}^{\frac{T}{2}} f(t) e^{-j2\pi f_n t} dt$$

Facendo tendere il passo unitario a 0 (o meglio, il periodo all'infinito) la versione periodica  $f_T(t)$  sarà sempre più simile alla funzione di partenza, per cui possiamo dire che:

$$f(t) = \lim_{T \rightarrow +\infty} f_T(t) \quad (90)$$

Dunque:

$$\begin{aligned} f(t) &= \lim_{T \rightarrow +\infty} f_T(t) = \\ &= \lim_{T \rightarrow +\infty} \sum_{n=-\infty}^{+\infty} c_n e^{j2\pi j f_n t} = \\ &= \lim_{T \rightarrow +\infty} \sum_{n=-\infty}^{+\infty} \left[ \int_{-\infty}^{+\infty} f(\tau) e^{-j2\pi f_n \tau} d\tau \right] e^{j2\pi j f_n t} \Delta f \end{aligned}$$

Dobbiamo osservare che:

- $\int_{-\infty}^{+\infty} f(\tau) e^{-j2\pi f_n \tau} d\tau$  è una sorta di **risposta in frequenza** e viene indicata con  $F(f)$  (funzione di trasformazione di  $f$ )
- al tendere di  $T$  all'infinito,  $\Delta f$  diventa infinitesima, dunque la somma infinita di termini moltiplicati per un'infinitesimo è proprio un integrale

**Antitrasformata di Fourier.** Per cui:

$$\begin{aligned} f(t) &= \lim_{\Delta f \rightarrow 0} \sum_{n=-\infty}^{+\infty} F(f_n) e^{j2\pi j f_n t} df = \\ &= \int_{-\infty}^{+\infty} F(f) e^{j2\pi j f t} df = \\ &= \mathcal{F}^{-1}\{F(f)\} \end{aligned}$$

E viene detta **Formula di Sintesi** o **Antitrasformata di Fourier**

**Trasformata di Fourier.** Mentre  $F(f)$ , anche detta **Trasformata di Fourier** o **Formula di Analisi**, è:

$$F(f) = \int_{-\infty}^{+\infty} f(t) e^{-j2\pi f t} dt = \mathcal{F}\{f(t)\} \quad (91)$$

Possiamo dunque vedere quest'importante relazione:

$$\boxed{f(t) \xrightleftharpoons[\mathcal{F}^{-1}]{\mathcal{F}} F(f)}$$

Con  $f : \mathbb{R} \rightarrow \mathbb{C}$  e  $F : \mathbb{R} \rightarrow \mathbb{C}$ . Sebbene quasi sempre lo spettro di una funzione  $f$  è complesso, quindi tridimensionale, possiamo raccontare **frequenze** e **ampiezze** tramite le funzioni:

- **Spettro d'Ampiezza**  $|F(f)| : \mathbb{R} \rightarrow \mathbb{R}$
- **Spettro di Fase**  $\angle F(f) : \mathbb{R} \rightarrow \mathbb{R}$

### 8.2.1 Trasformate Notevoli



Lezione 11  
4/11/2024

**Rettangolo.** La trasformata sicuramente più importante è quella del rettangolo:

$$\begin{aligned} S(f) &= \int_{-\infty}^{+\infty} \text{rect}(t) e^{-j2\pi f t} dt \\ &= \int_{-\frac{1}{2}}^{\frac{1}{2}} e^{-j2\pi f t} dt = \\ &= -\frac{1}{2j\pi f} (e^{j\pi f} - e^{-j\pi f}) = \\ &= -\frac{1}{j\pi f} \left( \frac{e^{j\pi f} - e^{-j\pi f}}{2j} \right) = \\ &= \frac{j}{\pi f} \left( \frac{e^{j\pi f} - e^{-j\pi f}}{2j} \right) = \\ &= \frac{1}{\pi f} \sin(\pi f) = \quad \quad \quad (\text{per eq di Eulero}) \\ &= \text{sinc}(f) \end{aligned}$$

**Delta di Dirac** La trasformata di Fourier della Delta è molto particolare:

$$\begin{aligned} S(f) &= \int_{-\infty}^{+\infty} \delta(t) e^{-j2\pi f t} dt = \\ &= e^{-j2\pi f 0} = 1 \quad \quad \quad (\text{per il campionamento (3.2.4)}) \end{aligned}$$

Possiamo interpretare questo risultato dicendo che lo spettro della delta è costituita da infiniti seni di frequenze che vanno da  $-\infty$  a  $+\infty$  tutti di modulo

unitario

**Delta di Dirac Traslata** Anche la trasformata della Delta Traslata di  $t_0$  è interessante:

$$\begin{aligned} S(f) &= \int_{-\infty}^{+\infty} \delta(t - t_0) e^{-j2\pi ft} dt = \\ &= e^{-j2\pi ft_0} \quad (\text{per il campionamento (3.2.4)}) \end{aligned}$$

### 8.3 Trasformata di Fourier di Segnali Reali

Consideriamo  $s(t) \in \mathbb{R}, \forall t \in \mathbb{R}$ :

$$\begin{aligned} S(f) &= \int_{-\infty}^{+\infty} s(t) e^{-j2\pi ft} dt = \\ &= \int_{-\infty}^{+\infty} f(t) [\cos(-j2\pi ft) + j \sin(-j2\pi ft)] dt \\ &= \int_{-\infty}^{+\infty} f(t) \cos(-j2\pi ft) dt + j \int_{-\infty}^{+\infty} f(t) \sin(-j2\pi ft) dt = \\ &= \underbrace{\int_{-\infty}^{+\infty} f(t) \cos(j2\pi ft) dt}_{\in \mathbb{R}} - j \underbrace{\int_{-\infty}^{+\infty} f(t) \sin(-j2\pi ft) dt}_{\in \mathbb{R}} = \\ &= \Re[S(f)] - j \Im[S(f)] \quad (\text{per simmetrie}) \end{aligned}$$

#### 8.3.1 Proprietà Trasformata di Segnali Reali

**Simmetria Hermitiana.** Consideriamo ora  $S(-f)$ :

$$\begin{aligned} \Re[S(-f)] &= \int_{-\infty}^{+\infty} f(t) \cos(-j2\pi ft) dt = \\ &= \int_{-\infty}^{+\infty} f(t) \cos(j2\pi ft) dt = \Re[S(f)] \quad (\text{simmetria pari}) \end{aligned}$$

$$\begin{aligned} \Im[S(-f)] &= \int_{-\infty}^{+\infty} f(t) \sin(-j2\pi ft) dt = \\ &= - \int_{-\infty}^{+\infty} f(t) \sin(j2\pi ft) dt = -\Im[S(f)] \quad (\text{simmetria dispari}) \end{aligned}$$

Un'altra simmetria simile la possiamo notare per **modulo** e **fase** di  $S(f)$ :

- $|S(f)| = |S(-f)|$
- $\angle S(f) = -\angle S(-f)$

Da ciò possiamo notare che la trasformata della frequenza opposta ha lo stesso modulo della trasformata di partenza ma fase opposta; questa è proprio la definizione di **coniugato** e definisce la **Simmetria Hermitiana**:

$$S(-f) = \overline{S(f)} \quad (\text{se } s(t) \in \mathbb{R})$$

Normalmente un grafico di un segnale si rappresenta in forma **bilatera**, considerando sia i tempi negativi sia positivi. Da questi calcoli abbiamo dimostrato che la trasformata di un qualsiasi segnale reale è sempre simmetrico rispetto alle ordinate per cui molto spesso la trasformata viene rappresentata in forma **monolatera**, cioè solo per  $t > 0$ .

**Linearità.** La trasformata di Fourier è un operatore lineare:

$$\mathcal{F}[ax(t) + by(t)] = a\mathcal{F}[x(t)] + b\mathcal{F}[y(t)] \quad (92)$$

**Dimostrazione.**

$$\begin{aligned} \mathcal{F}[ax(t) + by(t)] &= \int_{-\infty}^{+\infty} [ax(t) + by(t)] e^{-j2\pi ft} dt = \\ &= \int_{-\infty}^{+\infty} ax(t)e^{-j2\pi ft} + by(t)e^{-j2\pi ft} dt = \\ &= a \int_{-\infty}^{+\infty} x(t)e^{-j2\pi ft} dt + b \int_{-\infty}^{+\infty} y(t)e^{-j2\pi ft} dt = \\ &= a\mathcal{F}[x(t)] + b\mathcal{F}[y(t)] \end{aligned}$$

**Dualità.** Dato un segnale  $s(t)$  tale che  $\mathcal{F}[s(t)] = S(f)$ , allora:

$$\mathcal{F}[S(t)] = s(-f) \quad (93)$$

**Dimostrazione.**

$$\begin{aligned} \mathcal{F}[S(t)] &= \int_{-\infty}^{+\infty} S(t)e^{-j2\pi ft} dt = \\ &= \int_{-\infty}^{+\infty} S(t)e^{j2\pi(-f)t} dt = s(-f) \end{aligned}$$

Ossia otteniamo la formula di sintesi.

**Traslazione dei Tempi.** Dato un segnale  $s(t)$  tale che  $\mathcal{F}[s(t)] = S(f)$ , allora:

$$\mathcal{F}[s(t - t_0)] = S(f)e^{-j2\pi ft_0} \quad (94)$$

**Dimostrazione.** Iniziamo a considerare:

$$\mathcal{F}[s(t - t_0)] = \int_{-\infty}^{+\infty} s(t - t_0) e^{-j2\pi f t} dt$$

Effettuiamo ora questo scambio di variabili  $\begin{cases} t' = t - t_0 \\ dt' = dt \end{cases}$

$$\begin{aligned} &= \int_{-\infty}^{+\infty} s(t') e^{-j2\pi f (t' + t_0)} dt' = \\ &= \int_{-\infty}^{+\infty} s(t') e^{-j2\pi f t'} \underbrace{e^{-j2\pi f t_0}}_{\text{costante}} dt' = \\ &= e^{-j2\pi f t_0} \int_{-\infty}^{+\infty} s(t') e^{-j2\pi f t'} dt' = \\ &= S(f) e^{-j2\pi f t_0} \end{aligned}$$

**Traslazione nelle Frequenze.** Dato  $\mathcal{F}[s(t - t_0)] = \int_{-\infty}^{+\infty} s(t - t_0) e^{-j2\pi f t} dt$  allora si dimostra per dualità che:

$$\mathcal{F}[s(t) e^{-j2\pi f t_0}] = S(f + f_0) \quad (95)$$

**Modulazione d'Ampiezza** Dato  $S(f) = \mathcal{F}[s(t)]$  e il segnale modulato  $s_m(t) = s(t) \cos(2\pi f_c t)$  allora

$$\begin{aligned} \mathcal{F}\{s(t) \cos(2\pi f_c t)\} &= \int_{-\infty}^{+\infty} s(t) \frac{e^{j2\pi f_c t} + e^{-j2\pi f_c t}}{2} dt = \\ &= \int_{-\infty}^{+\infty} s(t) \frac{1}{2} (e^{j2\pi f_c t} + e^{-j2\pi f_c t}) dt = \\ &= \int_{-\infty}^{+\infty} \frac{1}{2} (s(t) e^{j2\pi f_c t} + s(t) e^{-j2\pi f_c t}) dt = \\ &= \frac{1}{2} (S(f + f_0) + S(f - f_0)) \end{aligned}$$

**Banda di un Segnale** Data una coppia  $s(t) \xleftrightarrow{\mathcal{F}} S(f)$  si definisce **Banda di un Segnale**  $B$  il supporto delle frequenze, ossia l'insieme delle frequenze per le quali il modulo non è nullo:

$$B = \{f \in \mathbb{R} : |S(f)| \neq 0\} \quad (96)$$

**Bandwidth** La Bandwidth o **Larghezza di Banda**  $BW$  rappresenta l'estensione di  $B$ , ossia:

$$BW = f_2 - f_1 \quad (97)$$



Dove  $f_2, f_1$  sono le frequenze estremità della Banda. NB: Dal momento che la trasformata di un segnale reale è, per la simmetria Hermitiana, simmetrica rispetto alle  $y$ , allora la  $BW$  viene definito sullo **Spettro Monolatero**. Possiamo definire una nuova classificazione dei segnali:

**Segnali In Banda Base.** Sono segnali che contengono l'origine nella Banda.

**Segnali In Banda Passante.** Sono segnali che non contengono l'origine nella Banda.

Lezione 12  
05/11/2024

**Scalatura.** Data una coppia  $s(t) \xleftrightarrow{\mathcal{F}} S(f)$  allora:

$$s(at) \xleftrightarrow{\mathcal{F}} \frac{1}{|a|} S\left(\frac{f}{a}\right) \quad (98)$$

**Dimostrazione** Consideriamo  $a > 0$ :

$$\mathcal{F}\{s(at)\} = \int_{-\infty}^{+\infty} s(at) e^{-j2\pi ft} dt$$

Ora consideriamo questo cambio di variabili  $\begin{cases} \tau = at \\ d\tau = a dt \end{cases}$

$$\begin{aligned} &= \int_{-\infty}^{+\infty} s(at) e^{-j2\pi ft} dt = \\ &= \int_{-\infty}^{+\infty} s(\tau) e^{-j2\pi f \frac{\tau}{a}} \frac{d\tau}{a} = \\ &= \frac{1}{a} \int_{-\infty}^{+\infty} s(\tau) e^{-j2\pi \frac{f}{a} \tau} d\tau = \\ &= \frac{1}{a} S\left(\frac{f}{a}\right) \end{aligned}$$

Poi in maniera simile, per  $a < 0$  possiamo dimostrare che  $\mathcal{F}\{s(at)\} = \frac{1}{-a} S\left(\frac{f}{a}\right)$ . Allora possiamo unificare i 2 risultati considerando la  $a$  in valore assoluto.

**Derivazione** Data una coppia  $s(t) \xleftrightarrow{\mathcal{F}} S(f)$  allora:

$$\frac{d}{dt} s(t) \xleftrightarrow{\mathcal{F}} j2\pi f S(f) \quad (99)$$

### Dimostrazione

$$\begin{aligned}
\frac{d}{dt}s(t) &= \\
&= \frac{d}{dt} \int_{-\infty}^{+\infty} S(f) e^{j2\pi ft} df = \\
&= \int_{-\infty}^{+\infty} S(f) \frac{d}{dt} e^{j2\pi ft} df = \quad (\text{formula di Sintesi}) \\
&= \int_{-\infty}^{+\infty} S(f) j2\pi f e^{j2\pi ft} df = \\
&= \int_{-\infty}^{+\infty} [j2\pi f S(f)] e^{j2\pi ft} df
\end{aligned}$$

Allora abbiamo trovato la coppia di Fourier  $\frac{d}{dt}s(t) \xleftrightarrow{\mathcal{F}} j2\pi f S(f)$

**Convoluzione** Date le seguenti coppie di Fourier  $x(t) \xleftrightarrow{\mathcal{F}} X(f)$  e  $y(t) \xleftrightarrow{\mathcal{F}} Y(f)$  allora:

$$x(t) * y(t) \xleftrightarrow{\mathcal{F}} X(f)Y(f) \quad (100)$$

### Dimostrazione

$$\begin{aligned}
\mathcal{F}\{x(t) * y(t)\} &= \\
&= \mathcal{F}\left\{\int_{-\infty}^{+\infty} x(\tau)y(t-\tau)d\tau\right\} = \\
&= \int_{-\infty}^{+\infty} \int_{-\infty}^{+\infty} x(\tau)y(t-\tau)d\tau e^{-j2\pi ft} dt
\end{aligned}$$

Consideriamo ora  $e^{-j2\pi ft} = e^{-j2\pi f(t-\tau+\tau)} = e^{-j2\pi f(t-\tau)} e^{-j2\pi \tau}$

$$\begin{aligned}
&= \int_{-\infty}^{+\infty} \int_{-\infty}^{+\infty} x(\tau)y(t-\tau)e^{-j2\pi f(t-\tau)} e^{-j2\pi \tau} d\tau dt = \\
&= \int_{-\infty}^{+\infty} \int_{-\infty}^{+\infty} \{x(\tau)e^{-j2\pi \tau}\} y(t-\tau) e^{-j2\pi f(t-\tau)} dt d\tau = \\
&= \int_{-\infty}^{+\infty} X(f) y(t-\tau) e^{-j2\pi f(t-\tau)} dt = \\
&= X(f)Y(f)
\end{aligned}$$

Per **Dualità** si ottiene anche che:

$$x(t)y(t) \xleftrightarrow{\mathcal{F}} X(f) * Y(f) \quad (101)$$

**Integrazione** Data la coppia di Fourier  $s(t) \xleftrightarrow{\mathcal{F}} S(f)$  e data la funzione  $p(t) = \int_{-\infty}^t s(\tau) d\tau$  allora:

$$p(t) \xleftrightarrow{\mathcal{F}} \frac{1}{2j\pi f} S(f) + \underbrace{\frac{S(0)}{2} S(f)}_{\text{costante integrazione}} \quad (102)$$

## 8.4 Teorema Di Parseval (Energia)

Il teorema di Parseval per Segnali Energia (vedi paragrafo 3.3.7) afferma che la trasformata di un segnale conserva sempre l'energia, ossia:

$$\int_{-\infty}^{+\infty} |s(t)|^2 dt = \int_{-\infty}^{+\infty} |S(f)|^2 df \quad (103)$$

### Dimostrazione

$$\begin{aligned} & \int_{-\infty}^{+\infty} |s(t)|^2 dt = \\ &= \int_{-\infty}^{+\infty} s(t) \overline{s(t)} dt = \\ &= \int_{-\infty}^{+\infty} \overline{s(t)} \left[ \int_{-\infty}^{+\infty} S(f) e^{j2\pi ft} df \right] dt = \quad (\text{per eq. di Sintesi}) \\ &= \int_{-\infty}^{+\infty} S(f) \left[ \int_{-\infty}^{+\infty} \overline{s(t)} e^{j2\pi ft} dt \right] df = \end{aligned}$$

Sfruttiamo ora la seguente proprietà:  $a \cdot b = \overline{\overline{a} \cdot \overline{b}}$ :

$$\begin{aligned} &= \int_{-\infty}^{+\infty} S(f) \left[ \int_{-\infty}^{+\infty} \overline{s(t)} e^{j2\pi ft} dt \right] df = \\ &= \int_{-\infty}^{+\infty} S(f) \overline{\int_{-\infty}^{+\infty} s(t) e^{-j2\pi ft} dt} df = \\ &= \int_{-\infty}^{+\infty} S(f) \overline{S(f)} df = \\ &= \int_{-\infty}^{+\infty} |S(f)|^2 df \end{aligned}$$

Intuitivamente, possiamo dire che, l'energia di un segnale è proprio uguale alla somma dell'energia trasportata da ogni contributo dei seni a tutte le frequenze della trasformata. Proprio per questo motivo  $|S(f)|^2$  viene anche detta **Densità Spettrale di Energia**

## 8.5 Teorema di Parseval (Potenza)

Similmente al Teorema per i segnali energia, ne esiste uno simile per i segnali potenza:

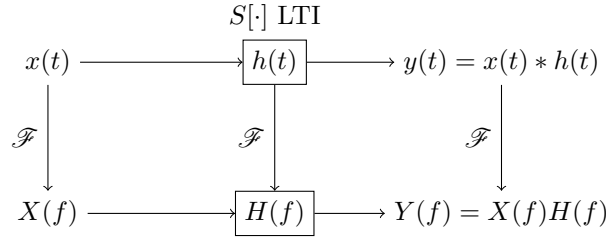
$$\lim_{T \rightarrow +\infty} \frac{1}{2T} \int_{-T}^{+T} |s(t)|^2 dt = \int_{-\infty}^{+\infty} |S(f)|^2 df \quad (104)$$

$|S(f)|^2$  viene anche detta **Densità spettrale di frequenza**

## 8.6 Sistemi nel Dominio delle Frequenze

Abbiamo visto che, per la proprietà fondamentale dei sistemi LTI (82), l'output di un sistema può essere visto come il risultato della convoluzione tra l'input e la risposta all'impulso. Per la proprietà commutativa della convoluzione abbiamo scoperto che è vero anche il contrario, è possibile studiare un sistema studiando la risposta all'ingresso, che è un segnale. Per questo motivo ha senso estendere l'analisi in Frequenza anche per i Sistemi LTI.

Ricordando la proprietà di risposta all'impulso (6.2.3), possiamo dire che  $H(f)$  sia a tutti gli effetti la trasformata di Fourier della risposta all'impulso e può essere vista come risposta ad un Fasore. Cerchiamo di definire uno schema generale dei sistemi LTI nel dominio delle frequenze e del tempo:



L'analisi in frequenza di un sistema è importantissimo per 2 grandi proprietà:

- Dal momento che  $Y(f) = X(f)H(f)$ , possiamo dire che per ogni frequenza  $f$ , la risposta in frequenza  $H(f)$  amplifica, diminuisce, o annulla l'ampiezza dell'ingresso  $X(f)$ , tuttavia  $Y(f)$  continua ad essere un fasore con la stessa frequenza dell'ingresso. Possiamo dunque dire che  $H(f)$  agisce da **Filtro** per le frequenze che compongono l'ingresso  $x(t)$ .
- Dal punto di vista di **calcolo numerico**, calcolare per tutti gli istanti la convoluzione di  $x(t) * h(t)$  non è proprio semplice; Grazie all'analisi in frequenza, però, possiamo fare un'escamotage: calcolare le 2 trasformate, moltiplicarle e antitrasformarle. Operazione di gran lunga più semplice che calcolare la convoluzione.

Dall'analisi in frequenza di un sistema notiamo che:

- $|Y(f)| = |X(f)||H(f)|$
- $\angle Y(f) = \angle X(f) + \angle H(f)$

## 9 Filtri

### 9.1 Filtri Ideali

Lezione 13  
11/11/2024

I filtri ideali sono filtri descritti matematicamente e con proprietà difficilmente replicabili con esattezza tramite circuiti reali.

Consideriamo un **Sistema senza Distorsione** nella seguente forma:

$$y(t) = Ax(t - t_0) \quad (105)$$

La trasformata di questo sistema è la seguente:

$$Y(f) = AX(f)e^{-j2\pi ft_0} \quad (\text{proprietà (94)})$$

$$\text{Con } H(f) = Ae^{-j2\pi ft_0} = \begin{cases} |H(f)| = A \\ \angle H(f) = (-2\pi t_0)f \end{cases}$$

### 9.2 Filtri Lineari Ideali

Definiamo **Filtro Lineare Ideale** un filtro nella seguente forma:

$$H(f) = \begin{cases} Ae^{-j2\pi ft_0} & \text{se } f \in B \\ 0 & \text{se } f \notin B \end{cases} \quad (106)$$

Dove  $B$  è detta **Banda Passante di Un filtro**, perchè non annulla la frequenza del segnale in ingresso.

#### 9.2.1 Filtro Passa-Basso (Ideale)

Questo filtro fa passare tutte le frequenze al di sotto di una **Frequenza di Taglio**  $f_T$ , ossia:

$$H(f) = \begin{cases} Ae^{-j2\pi ft_0} & \text{se } |f| < f_T \\ 0 & \text{altrimenti} \end{cases} \quad (107)$$

Possiamo calcolare la sua **risposta all'impulso** (Considerando  $A = 1, t_0 = 0$ ):

$$H_{LP} = \begin{cases} 1 & \text{se } |f| < f_T \\ 0 & \text{altrimenti} \end{cases} = \text{rect}\left(\frac{f}{2f_T}\right)$$
$$\underbrace{\text{rect}\left(\frac{f}{2f_T}\right)}_{H(f)} \xleftrightarrow{\mathcal{F}^{-1}} \underbrace{2f_T \text{sinc}(2f_T t)}_{h(t)}$$

### 9.2.2 Filtro Passa-Alto (Ideale)

Questo filtro fa passare, al contrario, tutte le frequenze al di sopra di una **Frequenza di Taglio**  $f_T$ , ossia:

$$H(f) = \begin{cases} Ae^{-j2\pi ft_0} & \text{se } |f| \geq f_T \\ 0 & \text{altrimenti} \end{cases} \quad (108)$$

Possiamo calcolare la sua **risposta all'impulso** (Considerando  $A = 1, t_0 = 0$ ):

$$\begin{aligned} H_{HP} &= \begin{cases} 1 & \text{se } |f| \geq f_T \\ 0 & \text{altrimenti} \end{cases} = 1 - \text{rect}\left(\frac{f}{2f_T}\right) \\ \underbrace{1 - \text{rect}\left(\frac{f}{2f_T}\right)}_{H(f)} &\xleftrightarrow{\mathcal{F}^{-1}} \underbrace{\delta(t) - 2f_T \text{sinc}(2f_T t)}_{h(t)} \end{aligned}$$

### 9.2.3 Filtro Passa-Banda (Ideale)

Questo filtro fa passare tutte le frequenze entro un intervallo  $[f_m, f_M]$ , ossia:

$$H(f) = \begin{cases} Ae^{-j2\pi ft_0} & \text{se } f_m < |f| < f_M \\ 0 & \text{altrimenti} \end{cases} \quad (109)$$

Possiamo calcolare la sua **risposta all'impulso** (Considerando  $A = 1, t_0 = 0$ ):

$$\begin{aligned} H_{BP} &= \begin{cases} 1 & \text{se } f_m < |f| < f_M \\ 0 & \text{altrimenti} \end{cases} = \text{rect}\left(\frac{f - f_c}{B}\right) + \text{rect}\left(\frac{f + f_c}{B}\right) \\ \underbrace{\text{rect}\left(\frac{f - f_c}{B}\right) + \text{rect}\left(\frac{f + f_c}{B}\right)}_{H(f)} &\xleftrightarrow{\mathcal{F}^{-1}} \underbrace{2B \text{sinc}(Bt) \cos(2\pi f_c t)}_{h(t)} \end{aligned}$$

### 9.2.4 Filtro Arresta-Banda (Ideale)

Questo filtro fa passare, al contrario, tutte le frequenze al di fuori di un intervallo  $[f_m, f_M]$ , ossia:

$$H(f) = \begin{cases} Ae^{-j2\pi ft_0} & \text{se } \leq f_m \text{ o } |f| \geq f_M \\ 0 & \text{altrimenti} \end{cases} \quad (110)$$

Possiamo calcolare la sua **risposta all'impulso** (Considerando  $A = 1, t_0 = 0$ ):

$$\begin{aligned} H_{BS} &= \begin{cases} 1 & \text{se } f_m < |f| < f_M \\ 0 & \text{altrimenti} \end{cases} = 1 - \text{rect}\left(\frac{f - f_c}{B}\right) - \text{rect}\left(\frac{f + f_c}{B}\right) \\ \underbrace{1 - \text{rect}\left(\frac{f - f_c}{B}\right) - \text{rect}\left(\frac{f + f_c}{B}\right)}_{H(f)} &\xleftrightarrow{\mathcal{F}^{-1}} \underbrace{\delta(t) - 2B \text{sinc}(Bt) \cos(2\pi f_c t)}_{h(t)} \end{aligned}$$

### 9.3 Filtri Reali

I filtri reali, sono invece, quelli costruiti tramite componenti circuitali. I circuiti analogici, per chiare limitazioni fisiche, non potranno mai riprodurre fedelmente i comportamenti dei filtri ideali.

#### 9.3.1 Circuito RC

Il circuito RC corrisponde ad un **Filtro Passa-Basso Reale** per il fatto che la risposta all'impulso assomiglia a quella di un filtro passa-basso. In un circuito possiamo immaginare un impulso come una scarica di intensità infinita che attraversa il circuito in un tempo infinitesimo e carica il condensatore istantaneamente di  $1A$ , e poi si scarica seguendo un andamento **esponenziale decrescente** (circa). La risposta all'impulso possiamo descriverla così:

$$h(t) = u(t)e^{-\frac{t}{RC}} \quad (111)$$

Con  $R$  la **resistenza del circuito** e  $C$  la **capacità del condensatore**.  $RC$  viene detto **tempo caratteristico** del sistema. La trasformata di questa risposta all'impulso è la seguente:

$$H(f) = \frac{1}{1 + j2\pi fRC}$$

Se consideriamo la frequenza di taglio  $f_T = \frac{1}{2\pi RC}$  abbiamo che:

$$H(f) = \frac{1}{1 + j\frac{f}{f_T}} \quad (112)$$

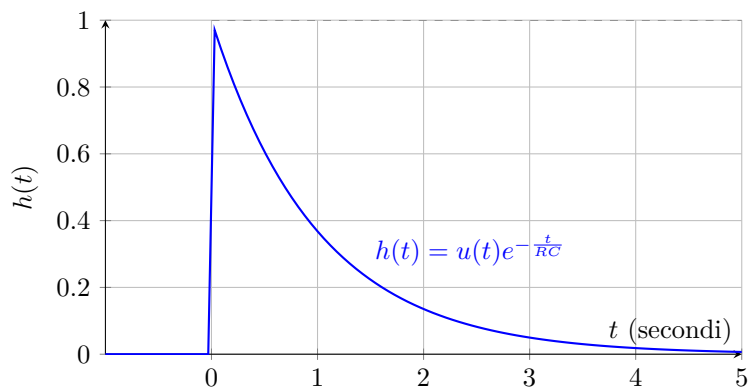
Analizziamo modulo e frequenza di questa risposta in frequenza:

$$|H(f)| = \begin{cases} 1 & \text{se } f \ll f_T \\ \frac{1}{\sqrt{2}} & \text{se } f = f_T \\ \ll 1 & \text{se } f \gg f_T \end{cases} \quad (113)$$

$$\angle H(f) = \begin{cases} \approx 0 & \text{se } f \ll f_T \\ -\frac{\pi}{4} & \text{se } f = f_T \\ -\frac{\pi}{2} & \text{se } f \gg f_T \end{cases} \quad (114)$$

Il grafico di risposta all'impulso dovrebbe essere:





Dal momento che per  $f > f_T$  la risposta in frequenza decresce per  $1/f$  ogni volta, questo filtro viene detto **filtro del I ordine**.

**Ordine n-esimo di un Filtro.** Si definisce Ordine n-esimo di un Filtro, un filtro che decresce al di fuori della banda di  $1/f^n$

## 10 Elaborazione di Segnali Digitali (DSP)

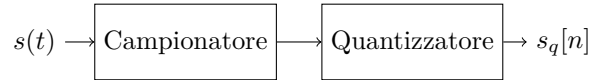
Questa branca della teoria dei segnali si occupa della conversione dal mondo analogico a digitale e viceversa e sull'elaborazione numerica dei segnali digitali. Questa branca è nata e si è sviluppata molto rapidamente perchè permette molto facilmente di manipolare i segnali come se fossero numeri, mentre con i circuiti analogici tutto ciò richiedeva uno sforzo concettuale e costi davvero elevati.

### 10.1 Conversione Analogico/Digitale

Il primo passo per entrare nel mondo digitale è definire la conversione di un segnale reale in discreto ma incontriamo 2 grandi **ostacoli**:

- **Istanti Infiniti**: se volessimo rendere digitale un segnale  $s(t), t \in \mathbb{R}$ , ci accorgeremmo che questo trasporta informazione infinita, poichè il numero di istanti  $t_i$  in un intervallo  $[t_{min}, t_{max}]$  è **denso**. Dunque il primo passo per ottenere un segnale digitale è **Campionare**
- **Ampiezze Infinite**: anche se riuscissimo a confinare il segnale entro un intervallo limite di ampiezze, il numero di ampiezze disponibili sarebbe comunque infinito. Per questo motivo dovremo discretizzare anche il dominio delle ampiezze  $Q = \{q_1, q_2, \dots, q_m\}$  detto **dizionario di quantizzazione**

Possiamo riassumere il processo di conversione nella seguente maniera:



E matematicamente ciò corrisponde a:

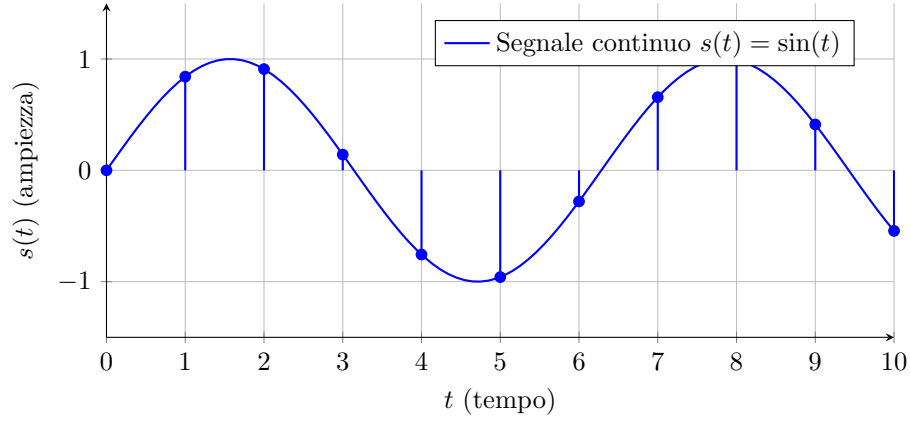
$$\begin{cases} s(t) \\ t \in \mathbb{R} \\ t_m \leq t \leq t_M \end{cases} \xrightarrow{\text{Conversione A/D}} \begin{cases} s_q(t_i) \\ t_m \leq t_i \leq t_M \\ \forall i = 1, 2, \dots, n \end{cases}$$

### 10.2 Campionamento (Sampling)

Campionare significa registrare, di infiniti istanti, solo di un segnale di alcuni istanti. In generale a noi interessa campionare il segnale per passi costanti di tempo  $T_S$  detto **Periodo di Campionamento**. Questa tecnica viene detta **Campionamento Uniforme** e possiamo formalizzarlo così:

$$s(t), t \in \mathbb{R} \longrightarrow s(nT_S) = s_n$$

Dove  $n \in \mathbb{Z}$  rappresenta l'i-esimo istante.



Dal grafico possiamo riconoscere come questi siano tanti impulsi di Dirac, ognuno traslato di un certo  $nT_S$  e con una determinata ampiezza:

$$\delta_{T_S}(t) = \sum_{-\infty}^{+\infty} \delta(t - nT_S) \quad (115)$$

Grazie a ciò possiamo definire il **Campionamento Ideale**:

$$\begin{aligned} s_c(t) &= s(t) \cdot \delta_{T_S}(t) = \\ &= s(t) \sum_{-\infty}^{+\infty} \delta(t - nT_S) = \\ &= \sum_{-\infty}^{+\infty} s(nT_S) \delta(t - nT_S) \end{aligned}$$

Nella realtà, tuttavia, un campionamento del genere non è possibile (non è possibile proprio generare un impulso di dirac) queste formalizzazioni tuttavia servono per permetterci di studiare meglio i segnali digitali.

### 10.3 Spettro del Segnale Campionato

Grazie alla formalizzazione precedente possiamo determinare lo spettro del segnale  $s_c(t)$ , ossia:

$$s_c(t) = s(t) \delta_{T_S}(t) \xleftrightarrow{\mathcal{F}} S(f) * \Delta_{T_S}(f) = S_c(f) \quad (116)$$

Dal momento che  $\delta_{T_S}(t)$  possiamo vederla come una funzione periodica di periodo  $T_S$ , allora possiamo esprimere la funzione tramite lo **sviluppo in serie di fourier**:

$$\delta_{T_S}(t) = \sum_{n=-\infty}^{+\infty} c_n e^{j2\pi \frac{n}{T_S} t} \quad (117)$$